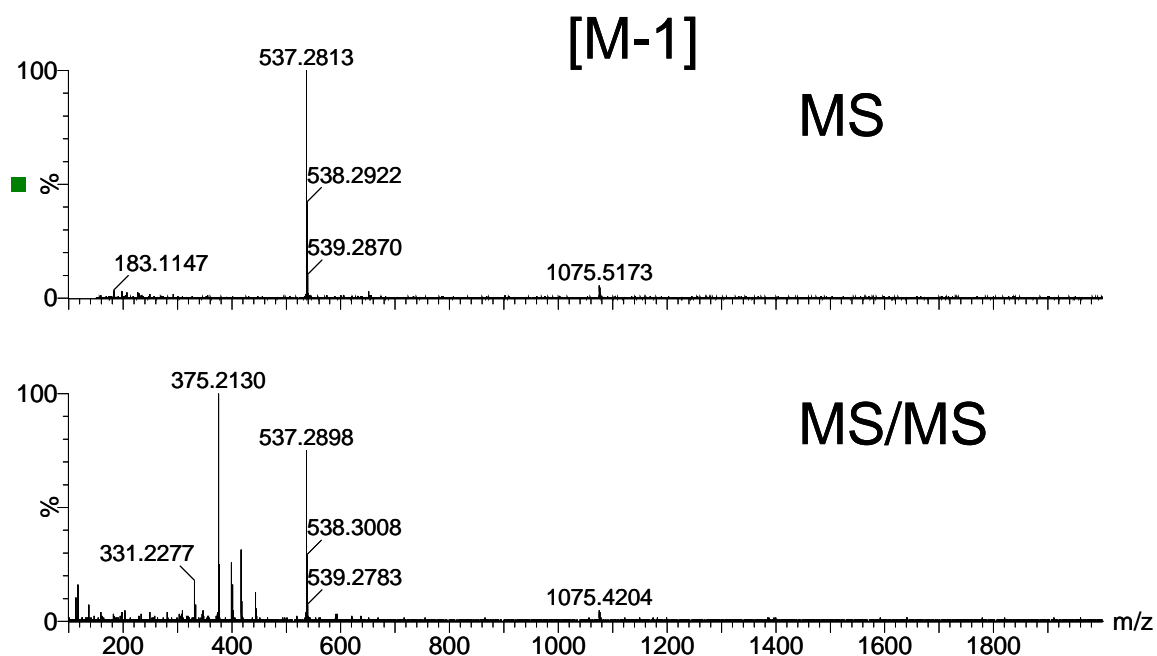


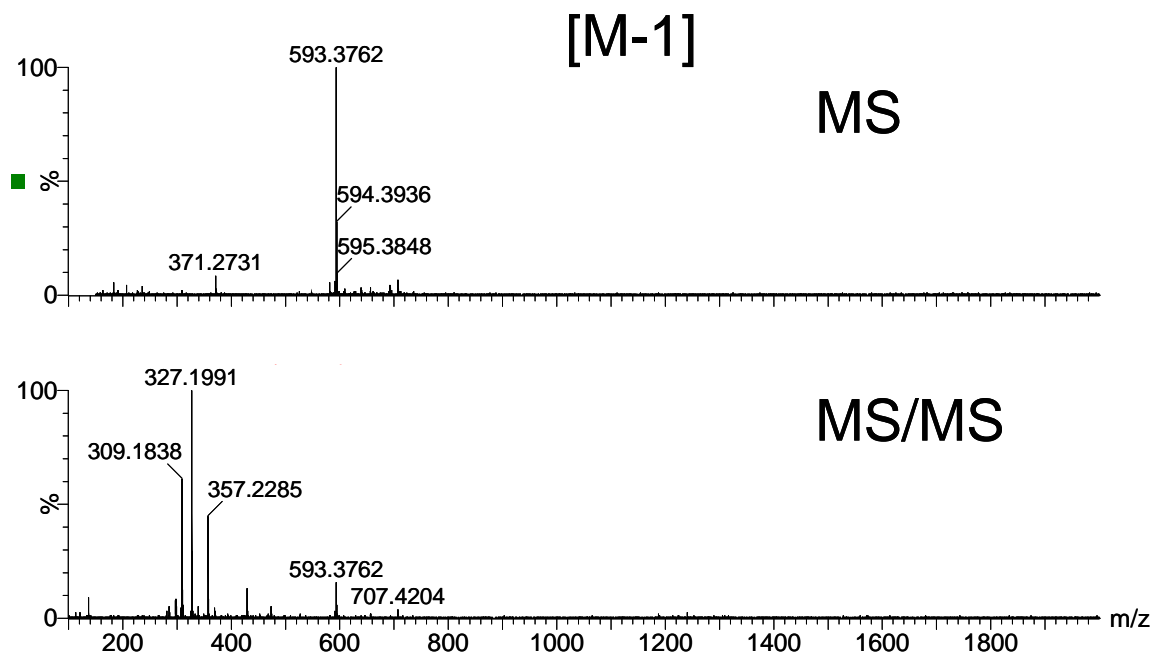
# ***Espectros***



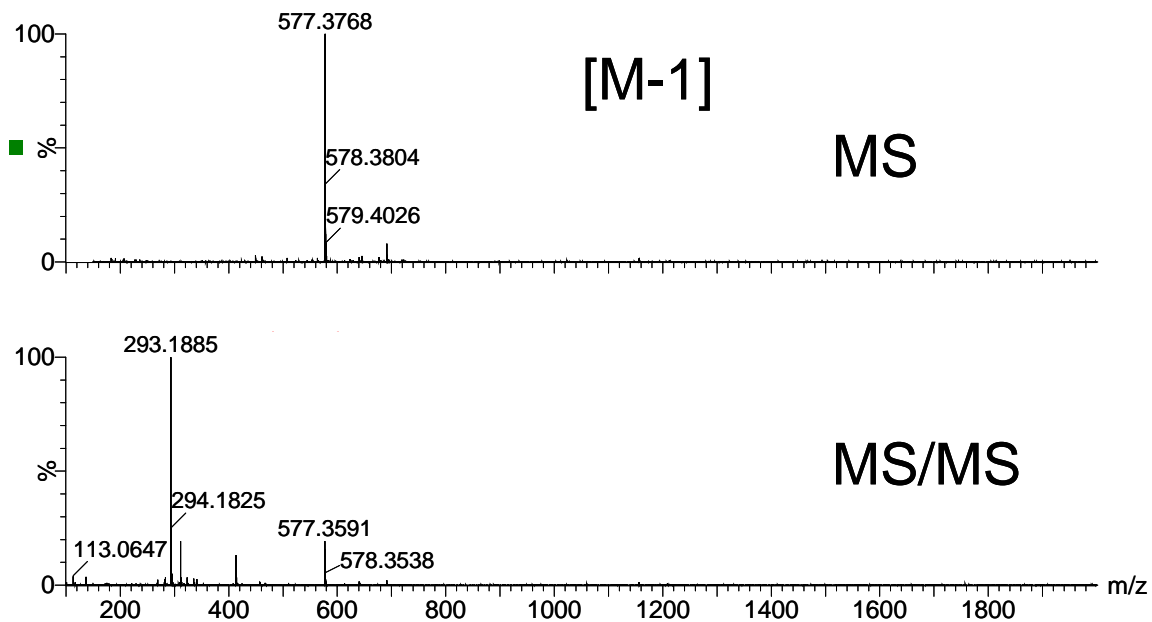
# Espectros



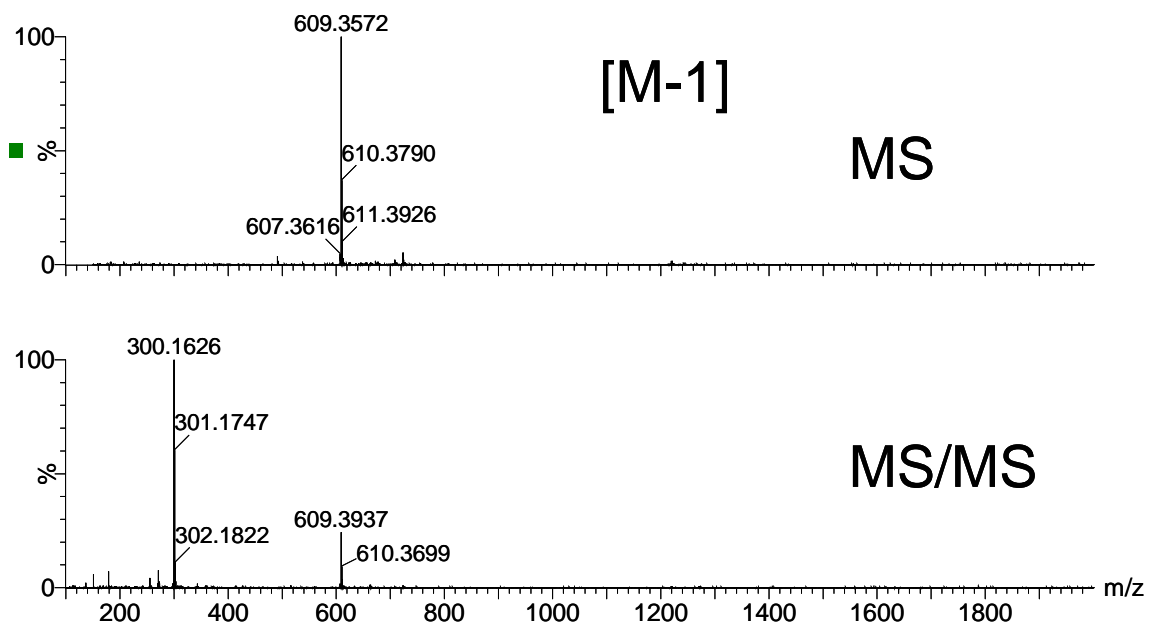
**Espectro 1.** Espectro de masas de alta resolución de OpB-1, (agathisflavona).



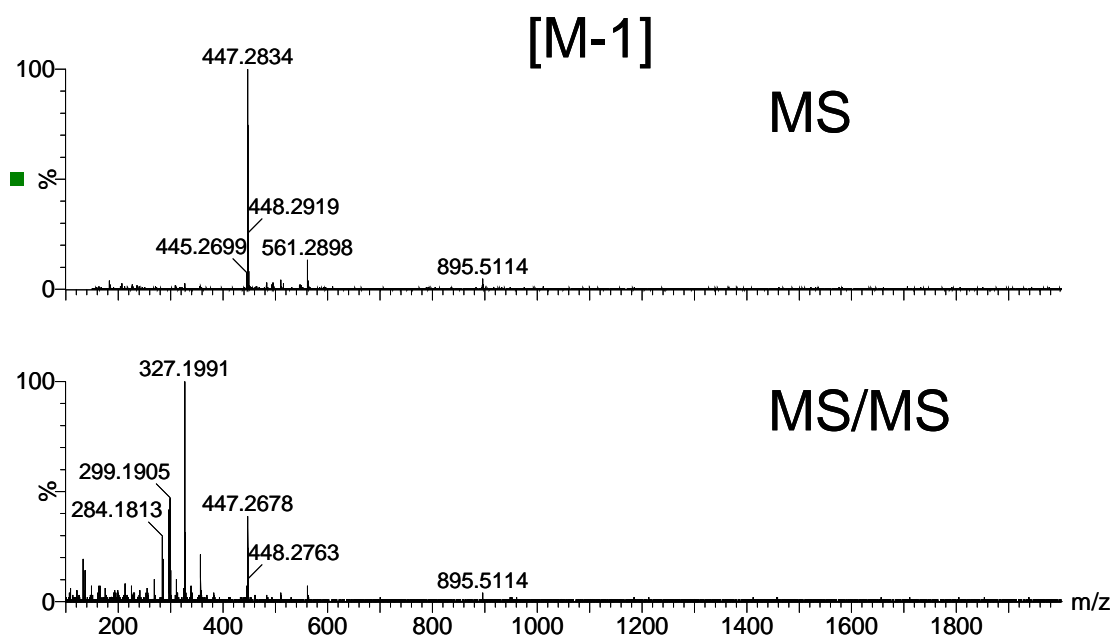
**Espectro 2.** Espectro de masas de alta resolución de OpC-2.



**Espectro 3.** Espectro de masas de alta resolución de OpC-3.



**Espectro 4.** Espectro de masas de alta resolución de OpC-4 (rutina).



**Espectro 5.** Espectro de masas de alta resolución de OpC-5.

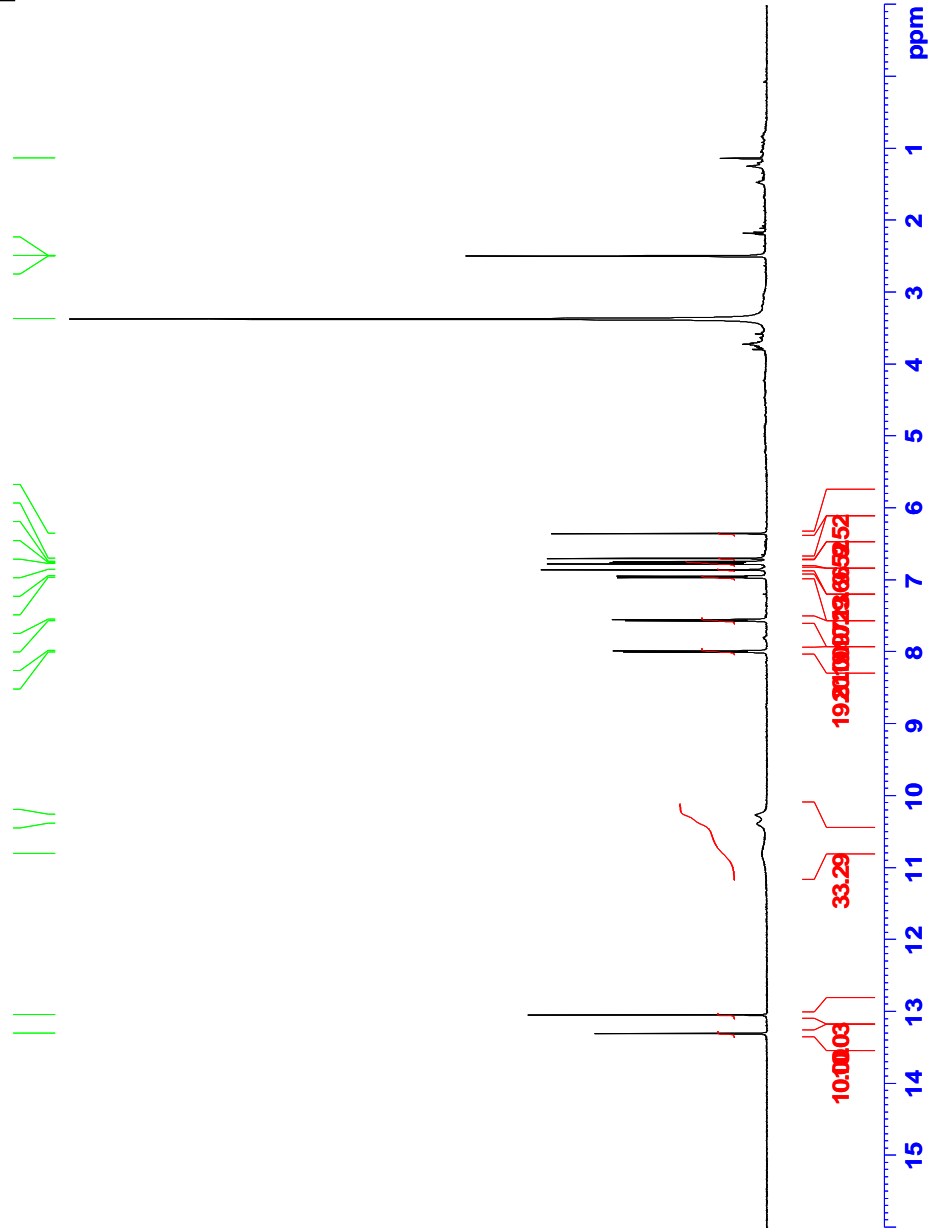


Current Data Parameters  
NAME ucvmrjb4352.f/e2s  
EXNO 11  
PROCNO 1

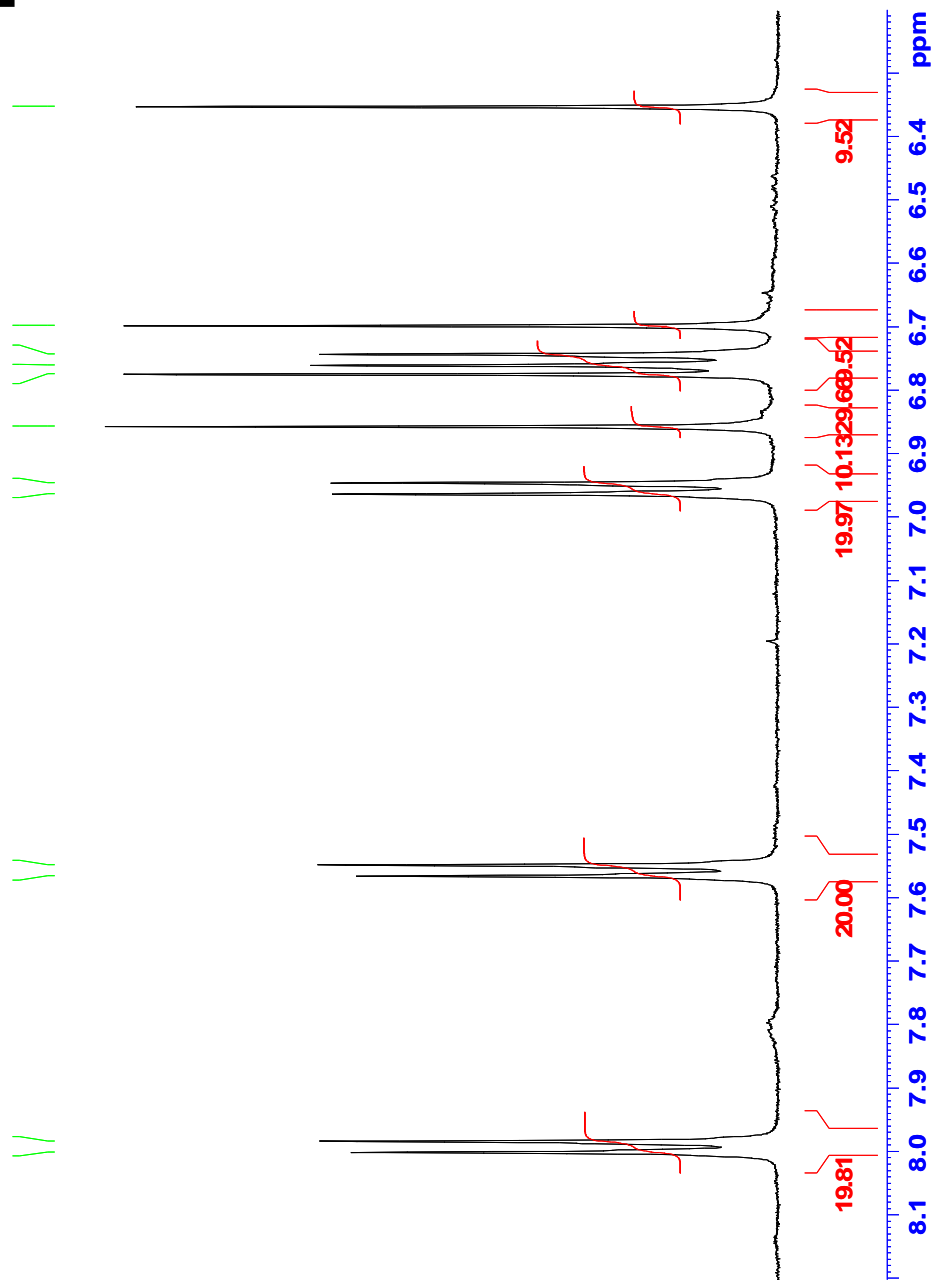
F2 - Acquisition Parameters  
Date\_ 20070521  
Time\_ 11:13  
INSTRUM spect  
PROBHD 5 mm TBI IH-BB  
PULPROG zg30  
TD 65536  
SOLVENT DMSO  
NS 9  
DS 0  
SMH 10330.578 Hz  
FIDRES 0.157632 Hz  
AQ 3.177287 sec  
RG 48  
DE 400 usec  
TE 296.2 K  
D1 1.00000000 sec  
TD0 1

==== CHANNEL f1 =====  
NUC1 1H  
P1 11.00 usec  
PL1 3.00 dB  
SFO1 500.1330885 MHz

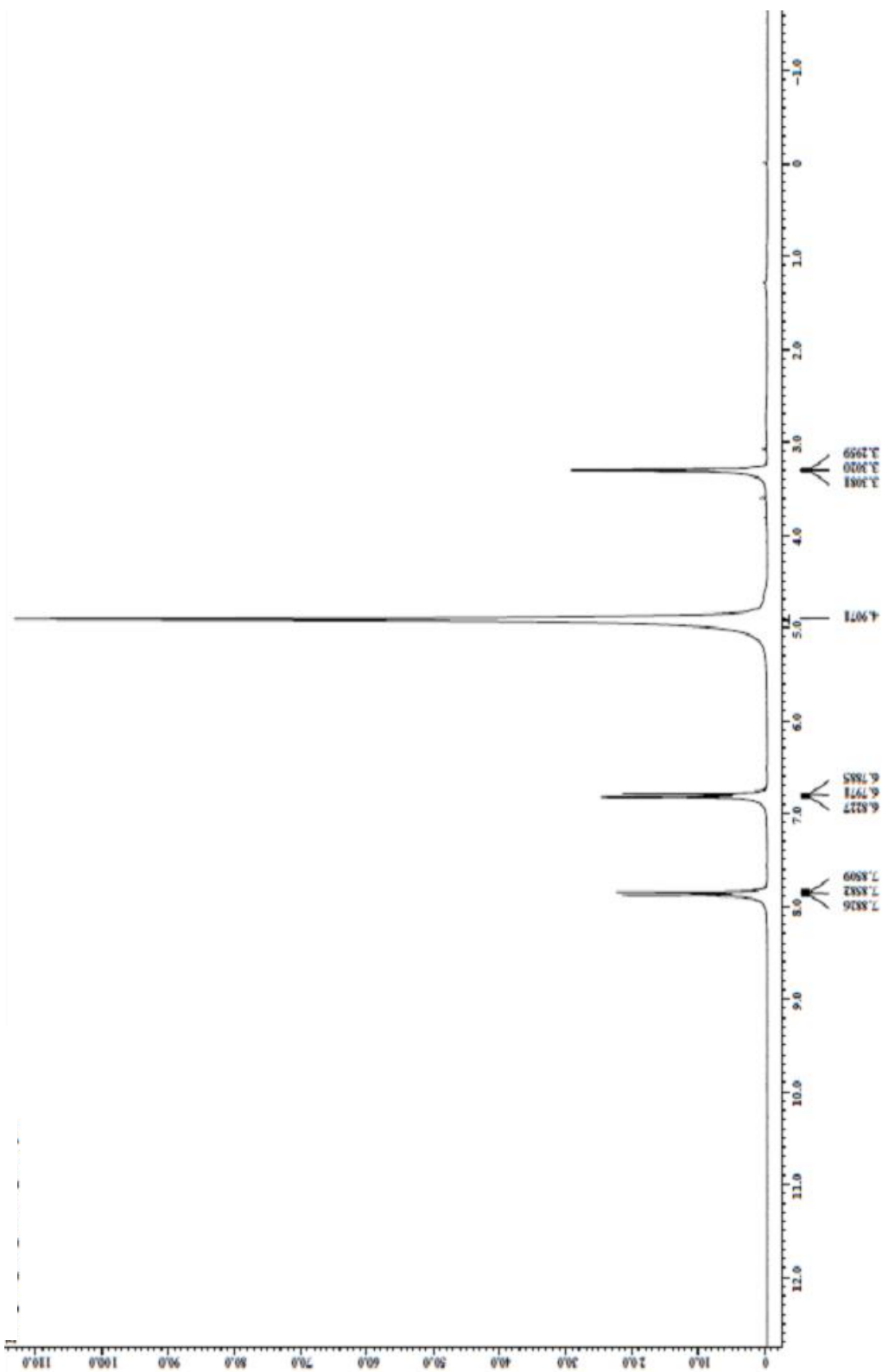
F2 - Processing parameters  
SI 32768  
SF 500.1300098 MHz  
WDW rd  
SSB 0  
LB 0.00 Hz  
GB 0  
PC 1.00



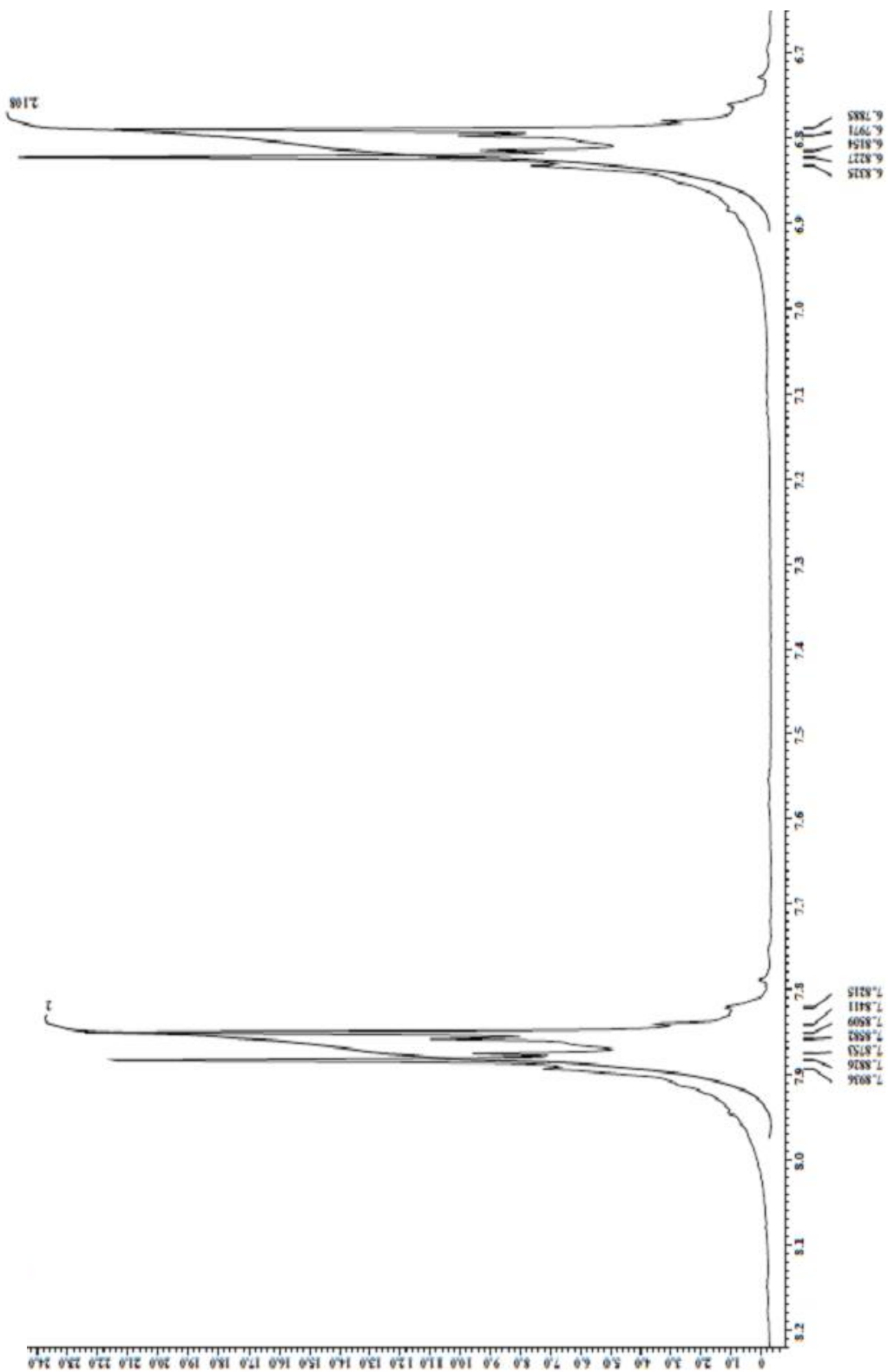
Espectro 6. RMN-<sup>1</sup>H del compuesto OpD-5 = OpB-1 (agathisflavona).



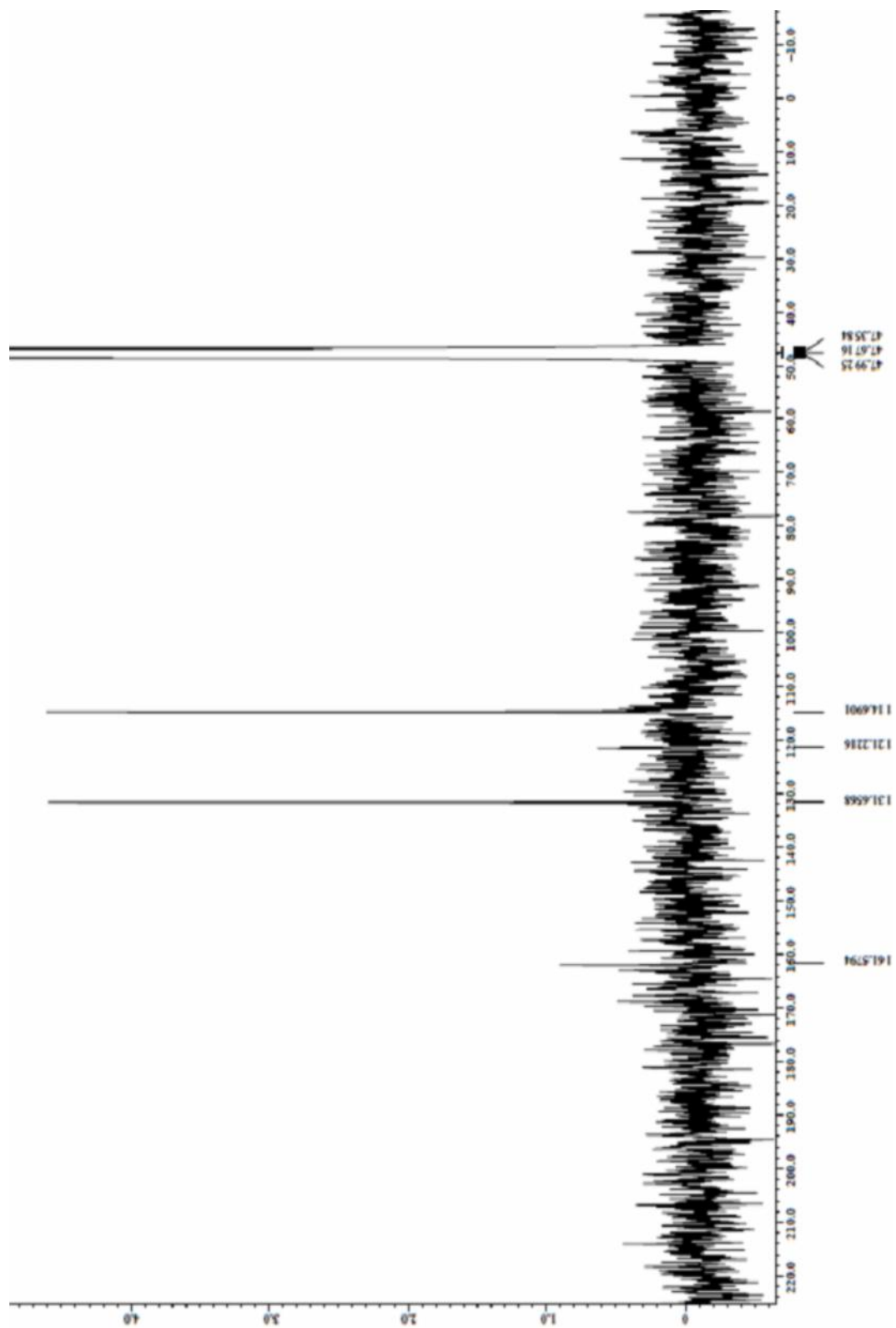
Espectro 7. Ampliación entre 6,3-8,1 ppm del RMN-<sup>1</sup>H del compuesto OpD-5 = OpB-1 (agathisflavona).



**Espectro 8.** RMN- $^1\text{H}$  del compuesto OpD-10 (ácido 4-hidroxibenzoico).



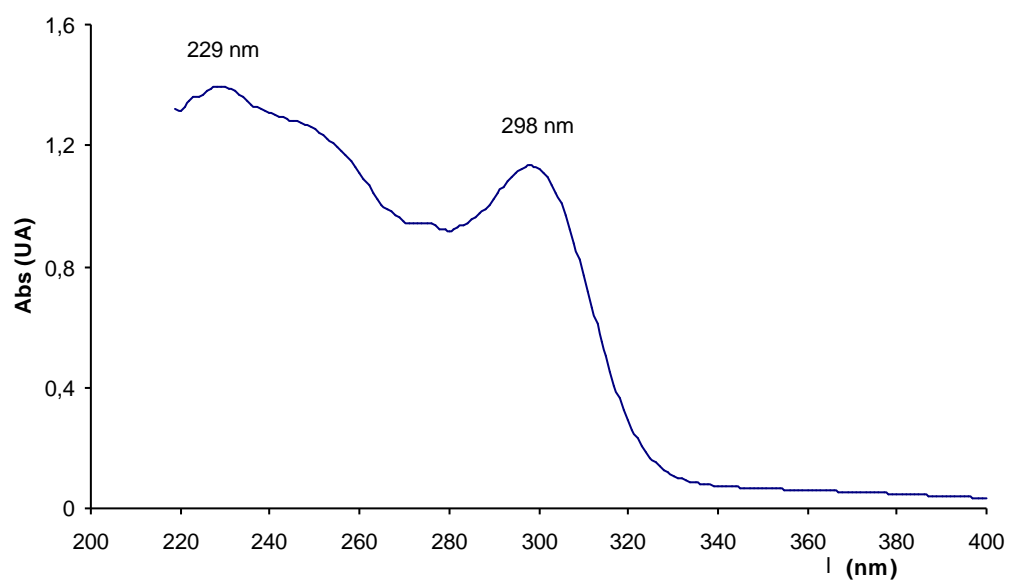
**Espectro 9.** Ampliación entre 6,7-8,2 ppm del RMN- $^1\text{H}$  del compuesto OpD-10 (ácido 4-hidroxibenzoico).



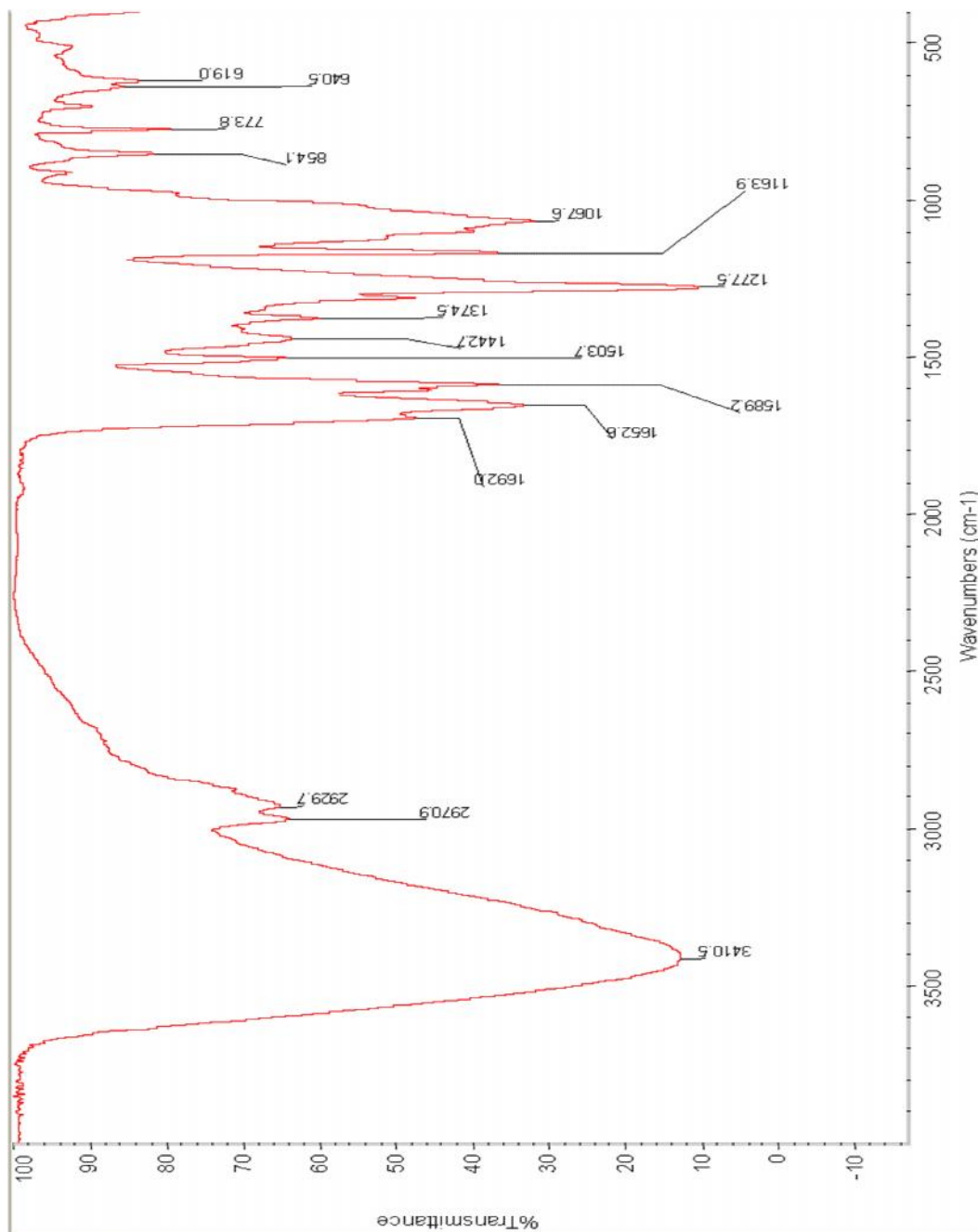
**Espectro 10.** RMN- $^{13}\text{C}$  del compuesto OpD-10 (ácido 4-hidroxibenzoico).

## Espectros

---

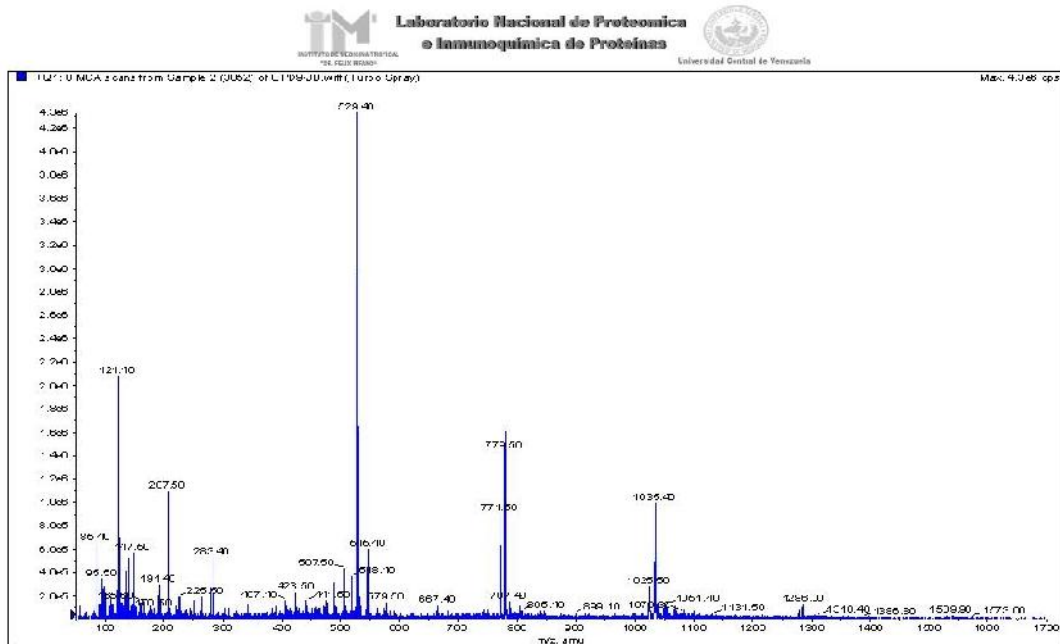


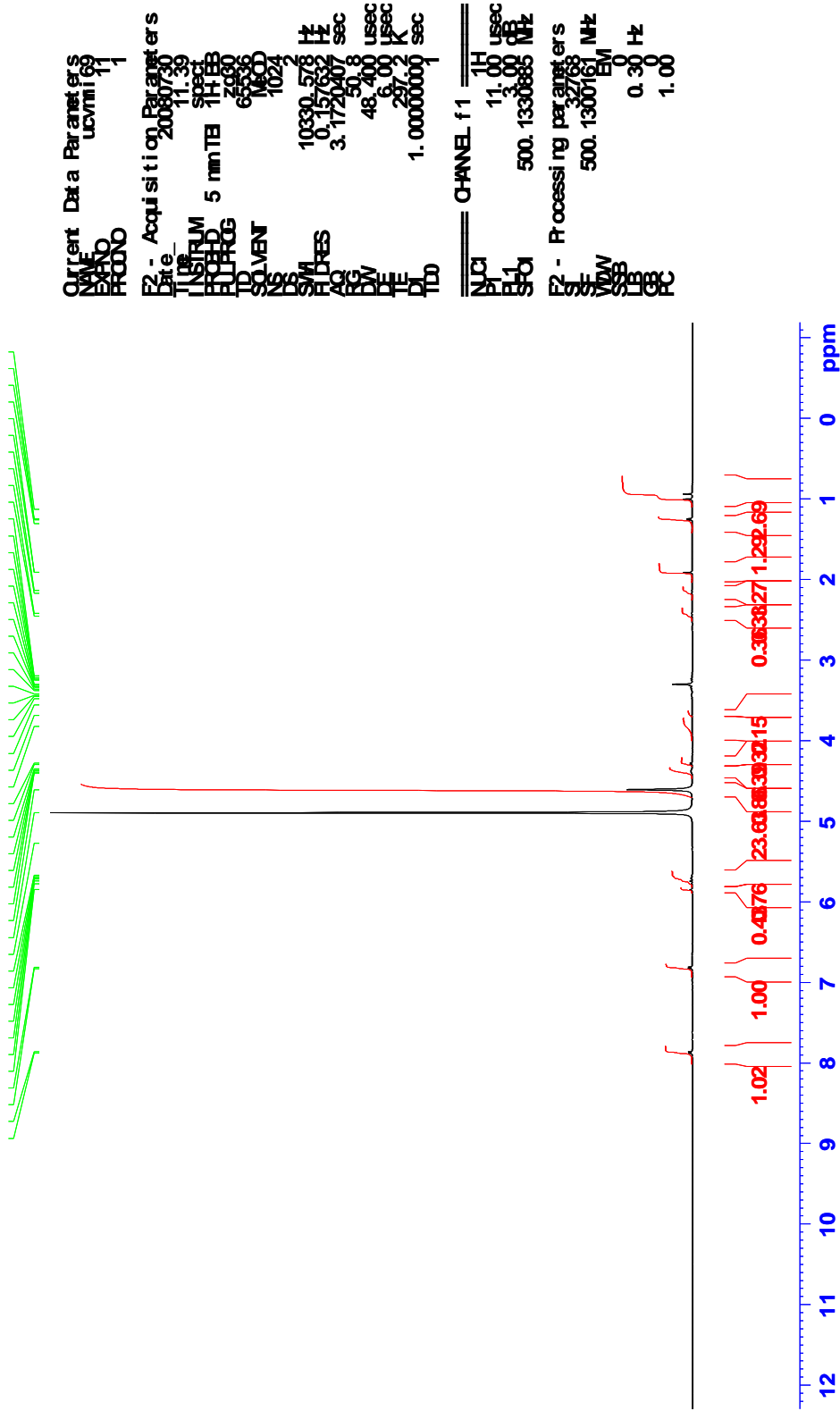
**Espectro 11.** UV-Vis del compuesto OpD-9 [(6R,9S)-6'-(4''-hidroxibenzoil)-roseósido].



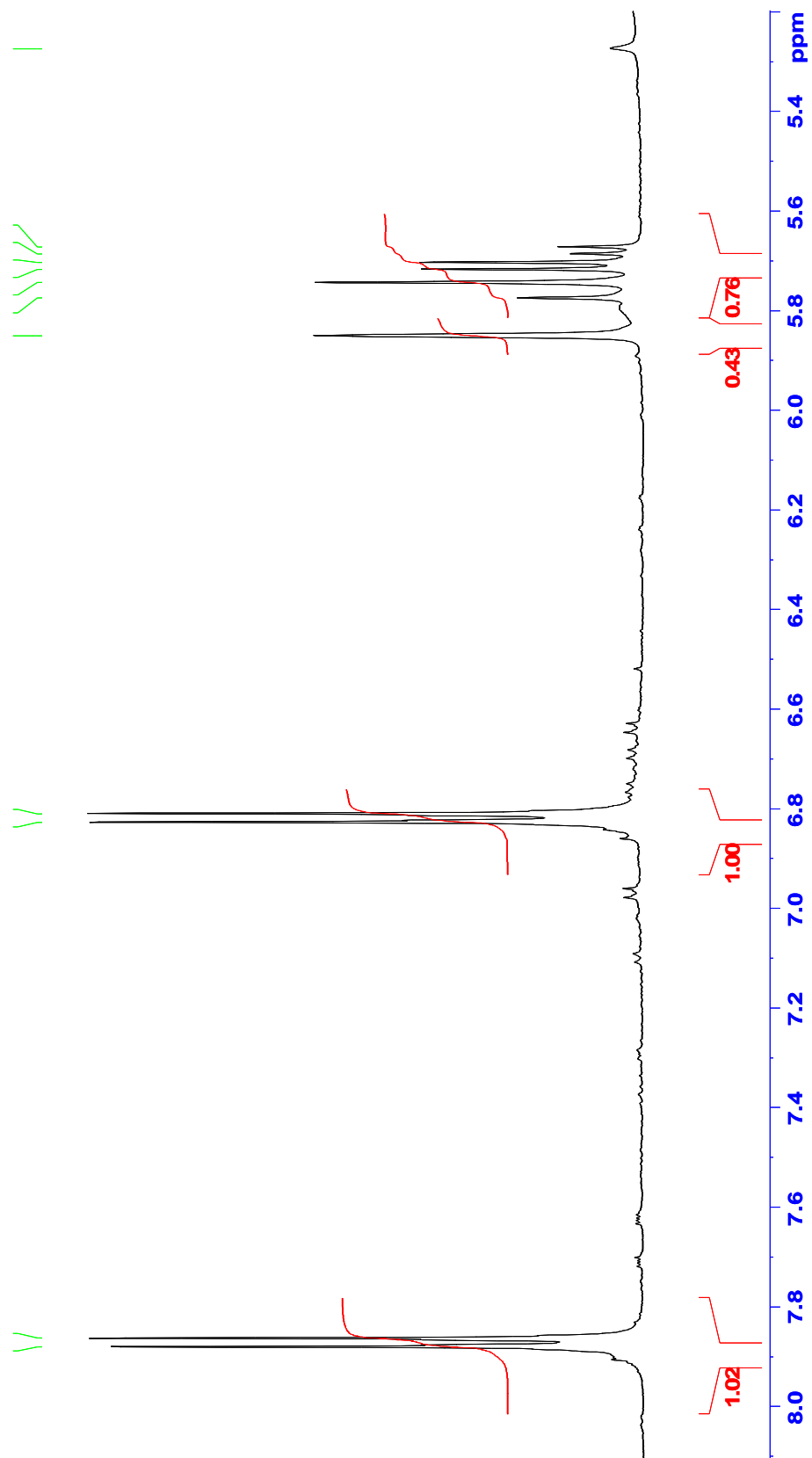
**Espectro 12.** IR del compuesto OpD-9 [(6R,9S)-6'-(4"-hidroxibenzoil)-roseósido].

# Espectros

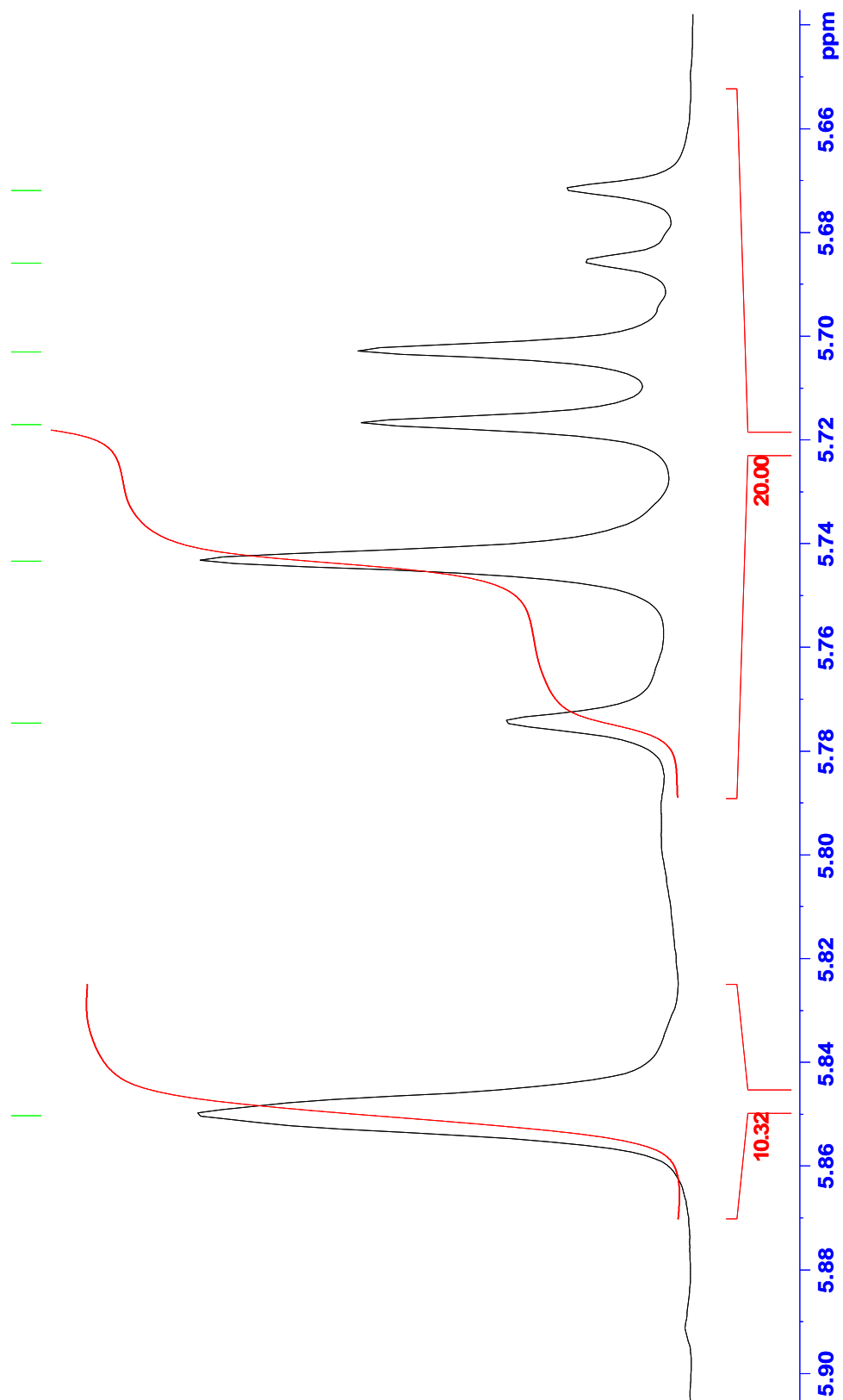




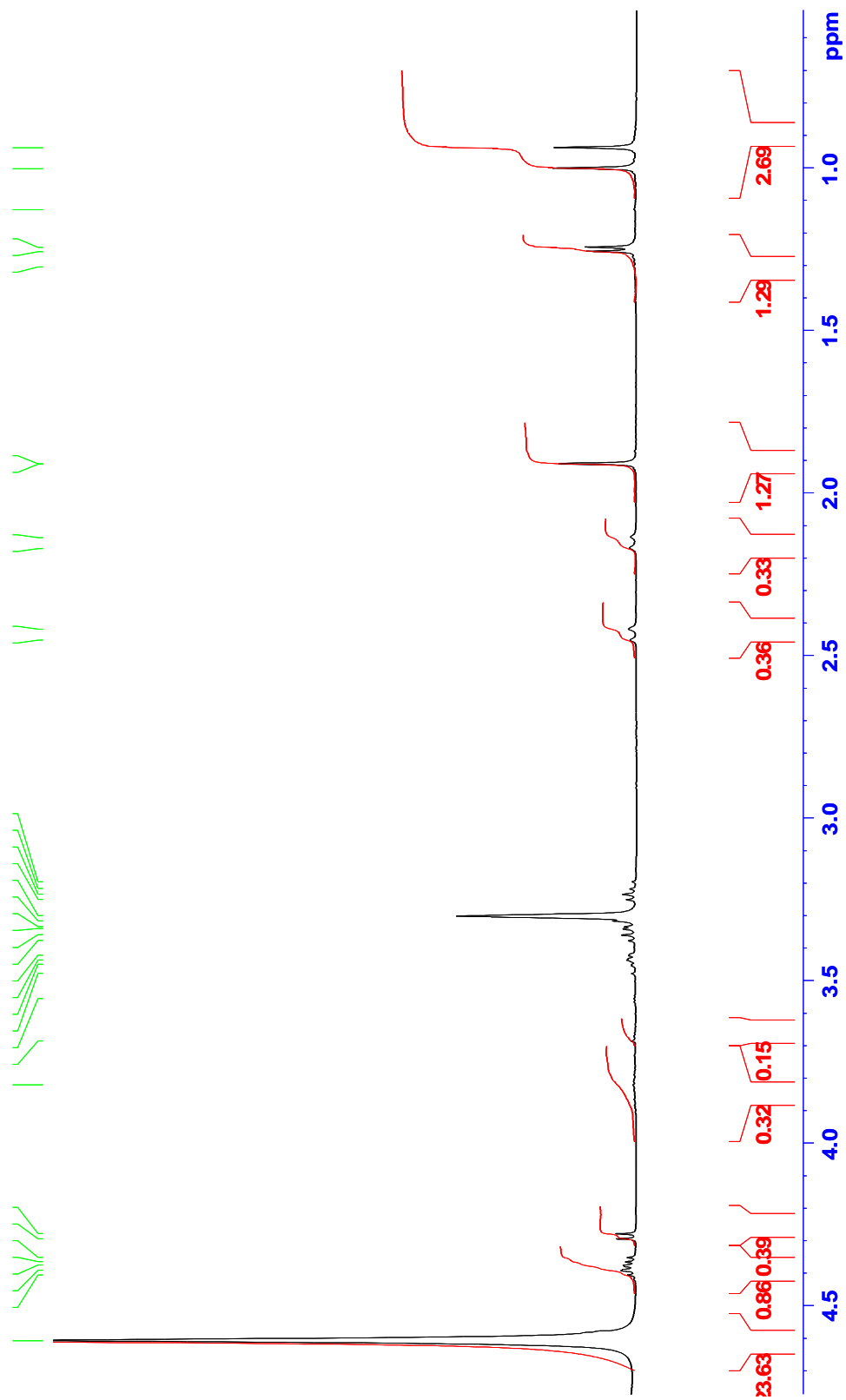
Espectro 15. RMN-<sup>1</sup>H del compuesto OpD-9 [(6R,9S)-6'-(4"-hidroxibenzoil)-roseósido].



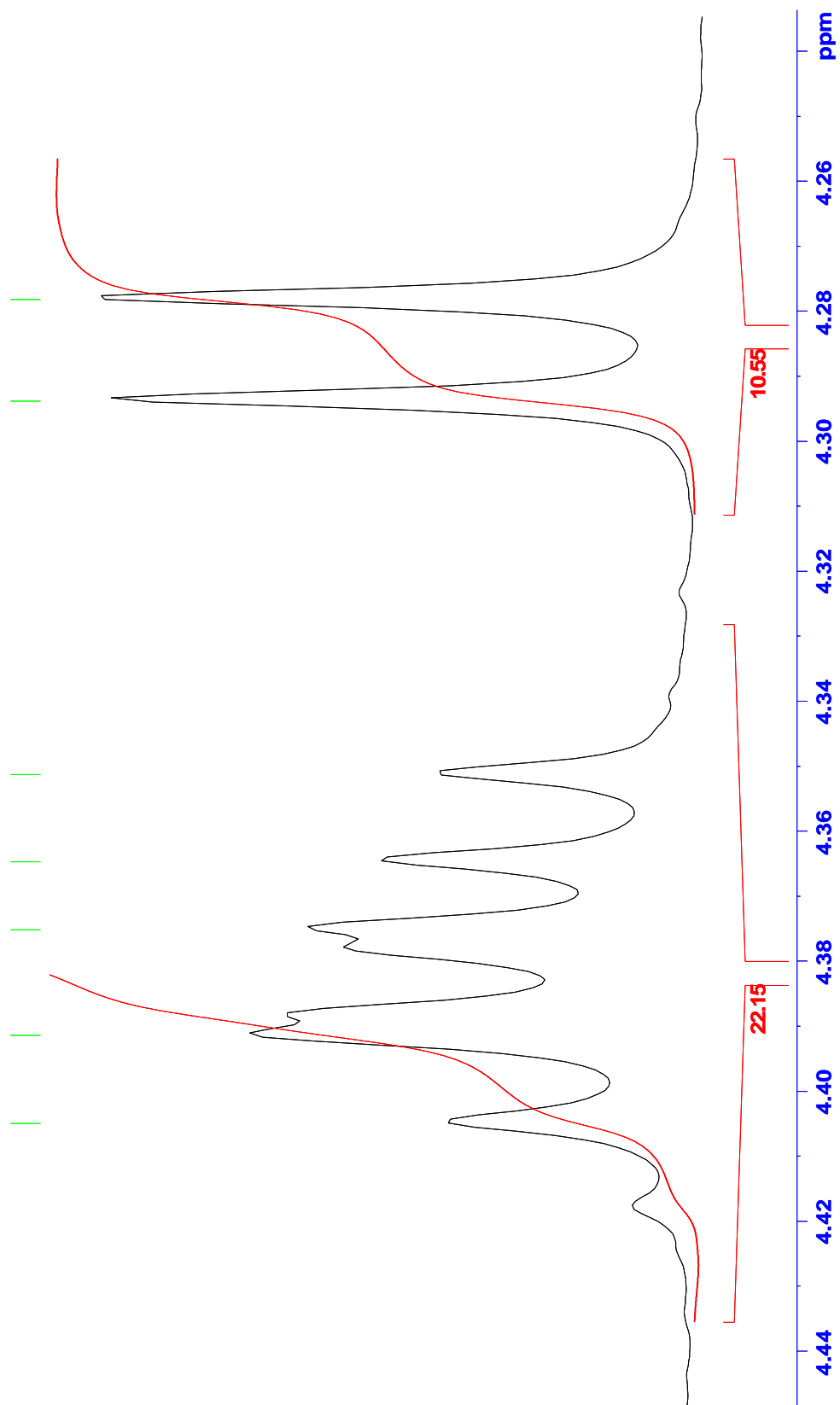
**Espectro 16.** Ampliación entre 5,2-8,0 ppm del RMN-<sup>1</sup>H del compuesto OpD-9 [(6R,9S)-6'-(4''-hidroxibenzoil)-roseósido].



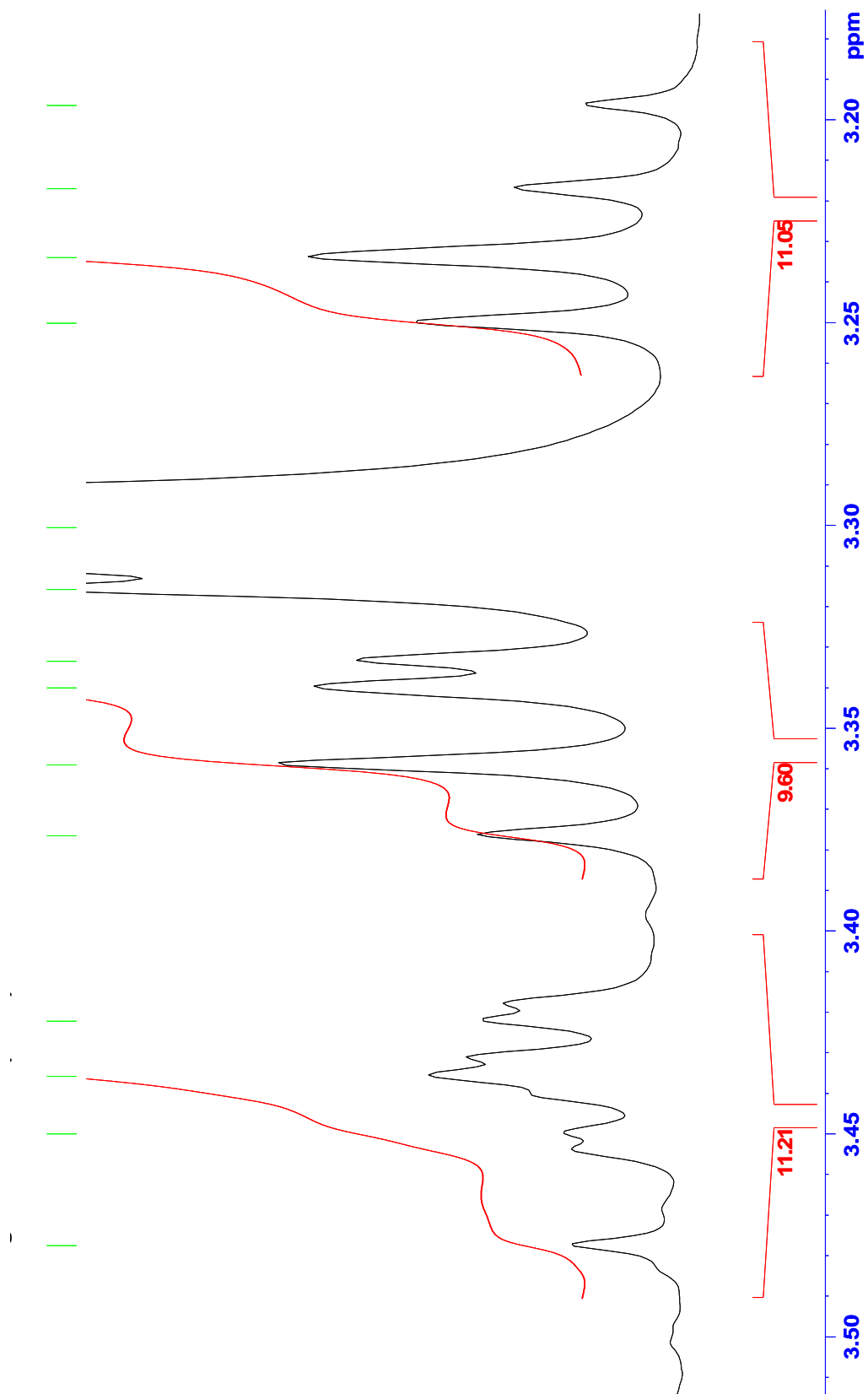
**Espectro 17.** Ampliación entre 5,6-5,9 ppm del RMN- $^1\text{H}$  del compuesto OpD-9 [(6R,9S)-6'-(4''-hidroxibenzóil)-rosesóido].



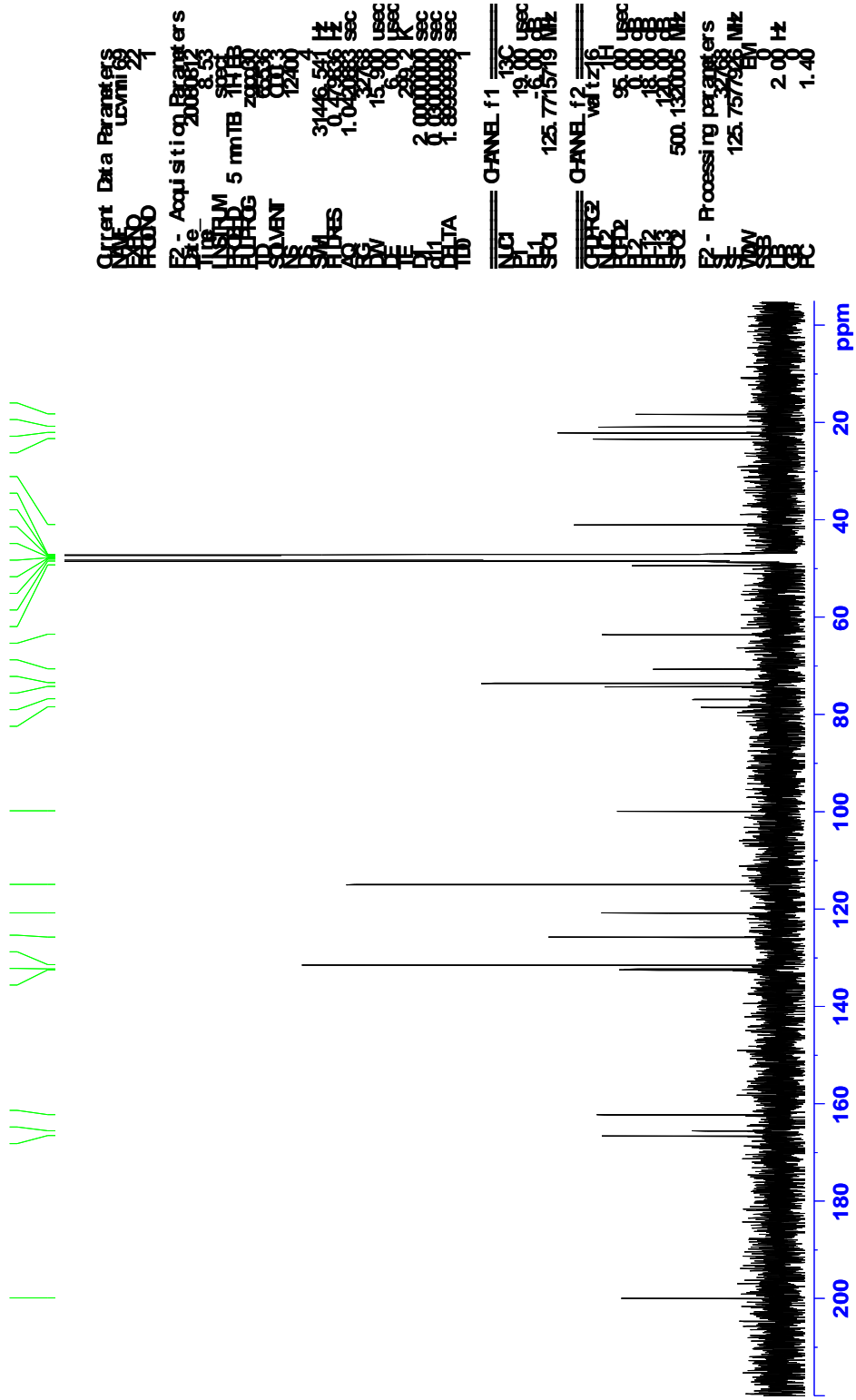
**Espectro 18.** Ampliación entre 0,5-4,7 ppm del RMN-<sup>1</sup>H del compuesto OpD-9 [(6R,9S)-6'-<sup>4</sup>'-hidroxibenzoil)-roseósido].



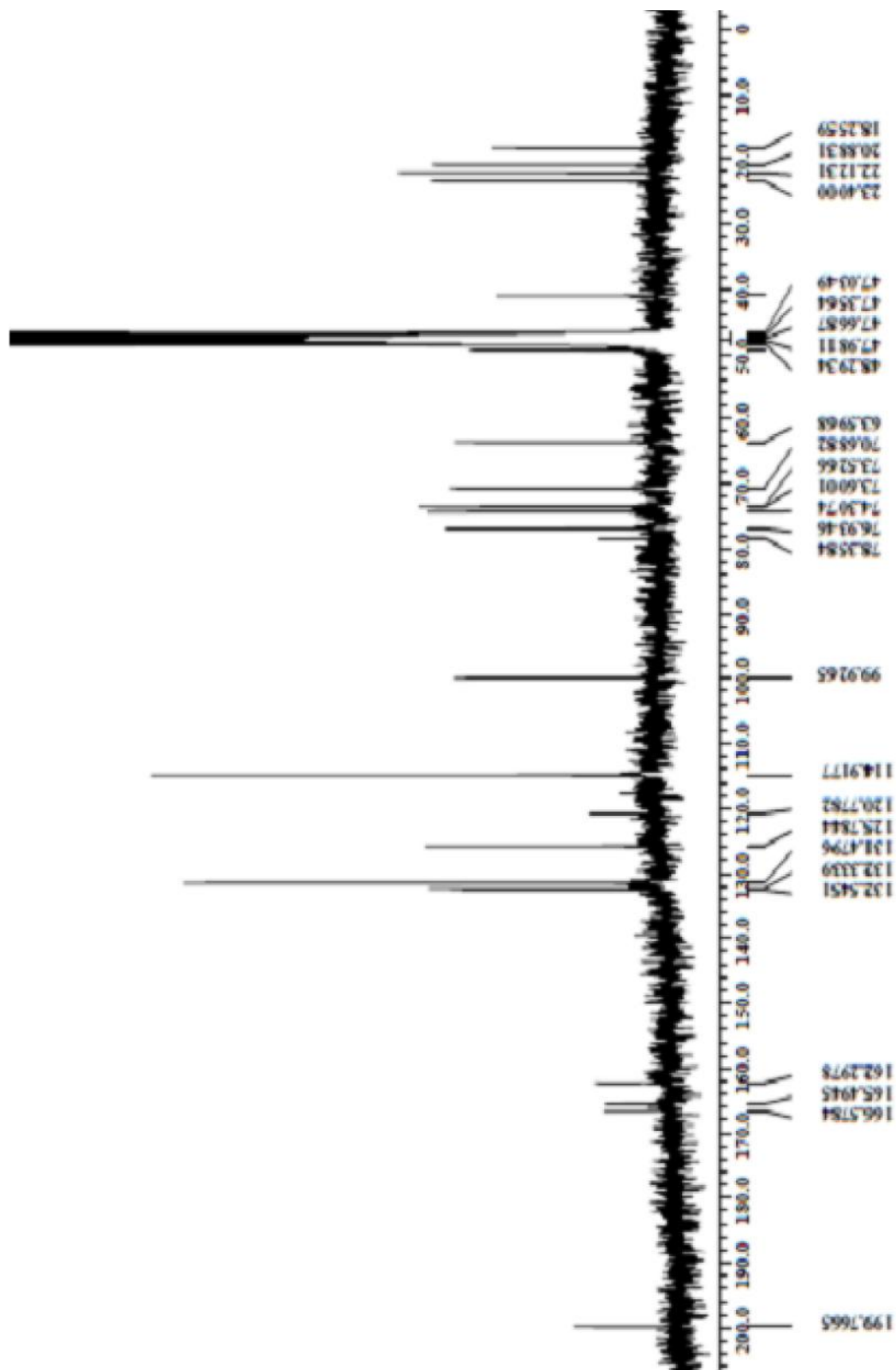
**Espectro 19.** Ampliación entre 4,2-4,4 ppm del RMN-<sup>1</sup>H del compuesto OpD-9 [(6R,9S)-6'-(4''-hidroxibenzoil)-roseósido].



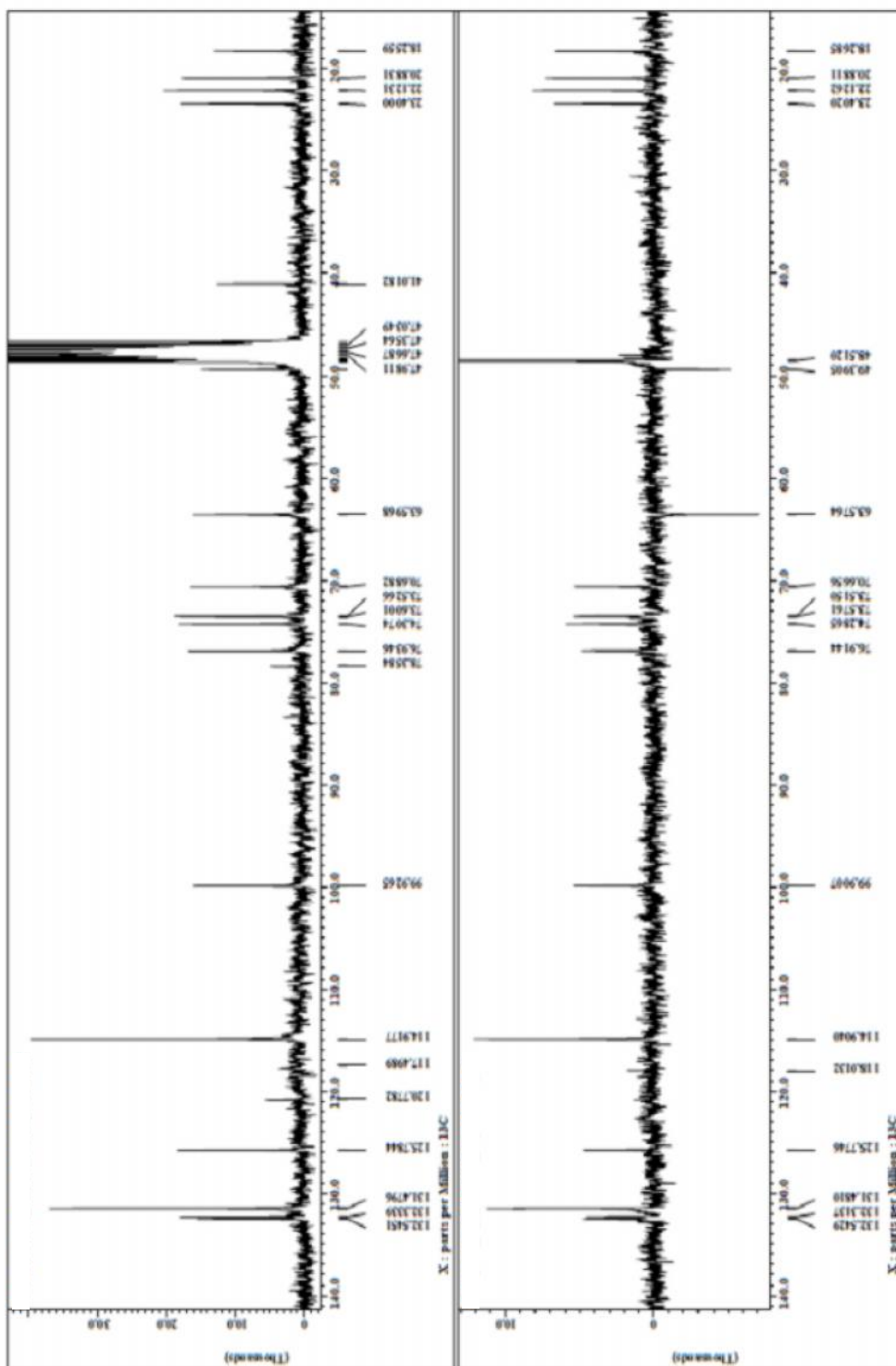
**Espectro 20.** Ampliación entre 3,2-3,5 ppm del RMN-<sup>1</sup>H del compuesto OpD-9 [(6R,9S)-(4''-hidroxibenzoil)-roseósido].



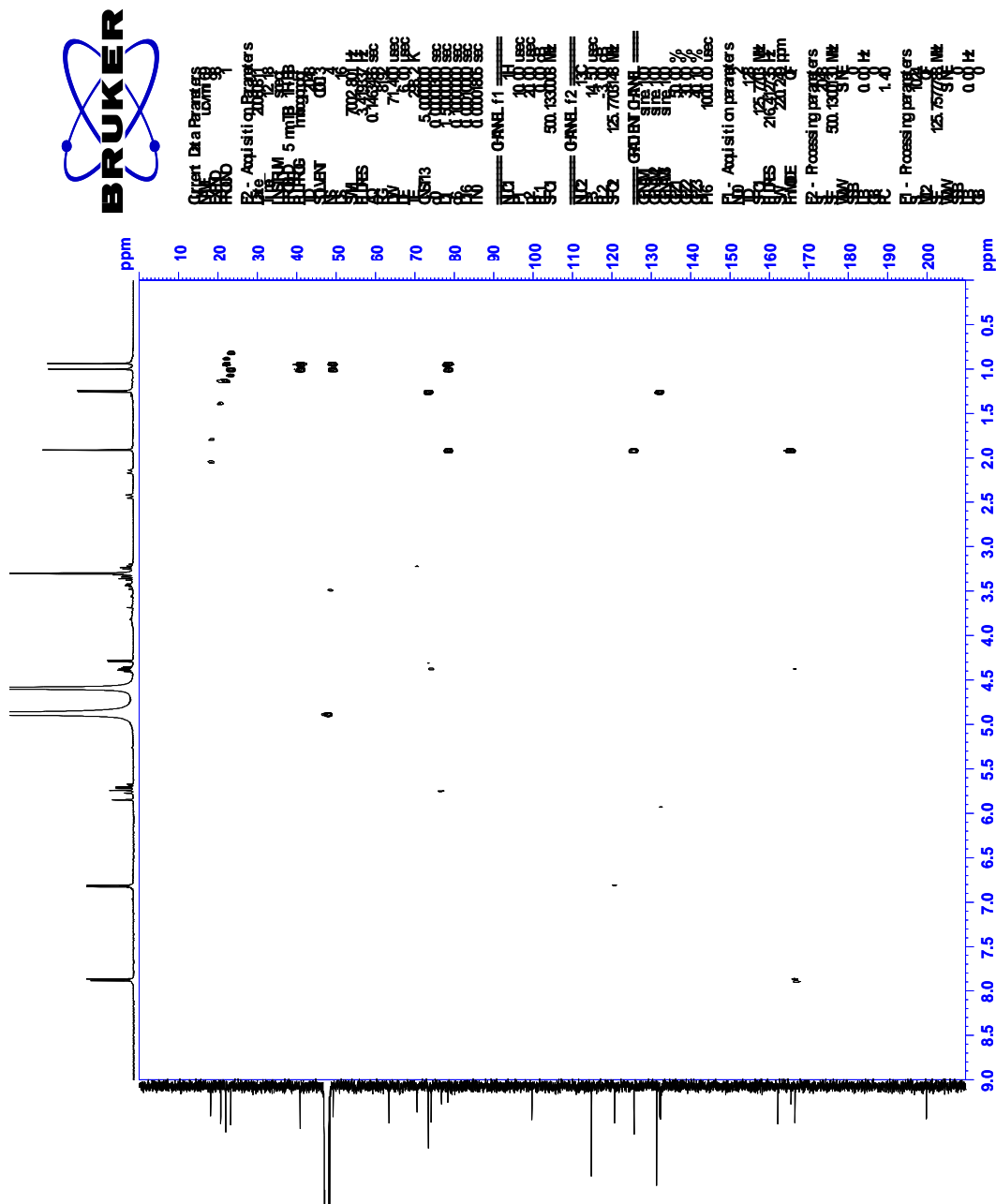
Espectro 21. RMN-<sup>13</sup>C del compuesto OpD-9 [(6R,9S)-6'-(4"-hidroxibenzoil)-roseósido]. Bruker de 125 MHz.



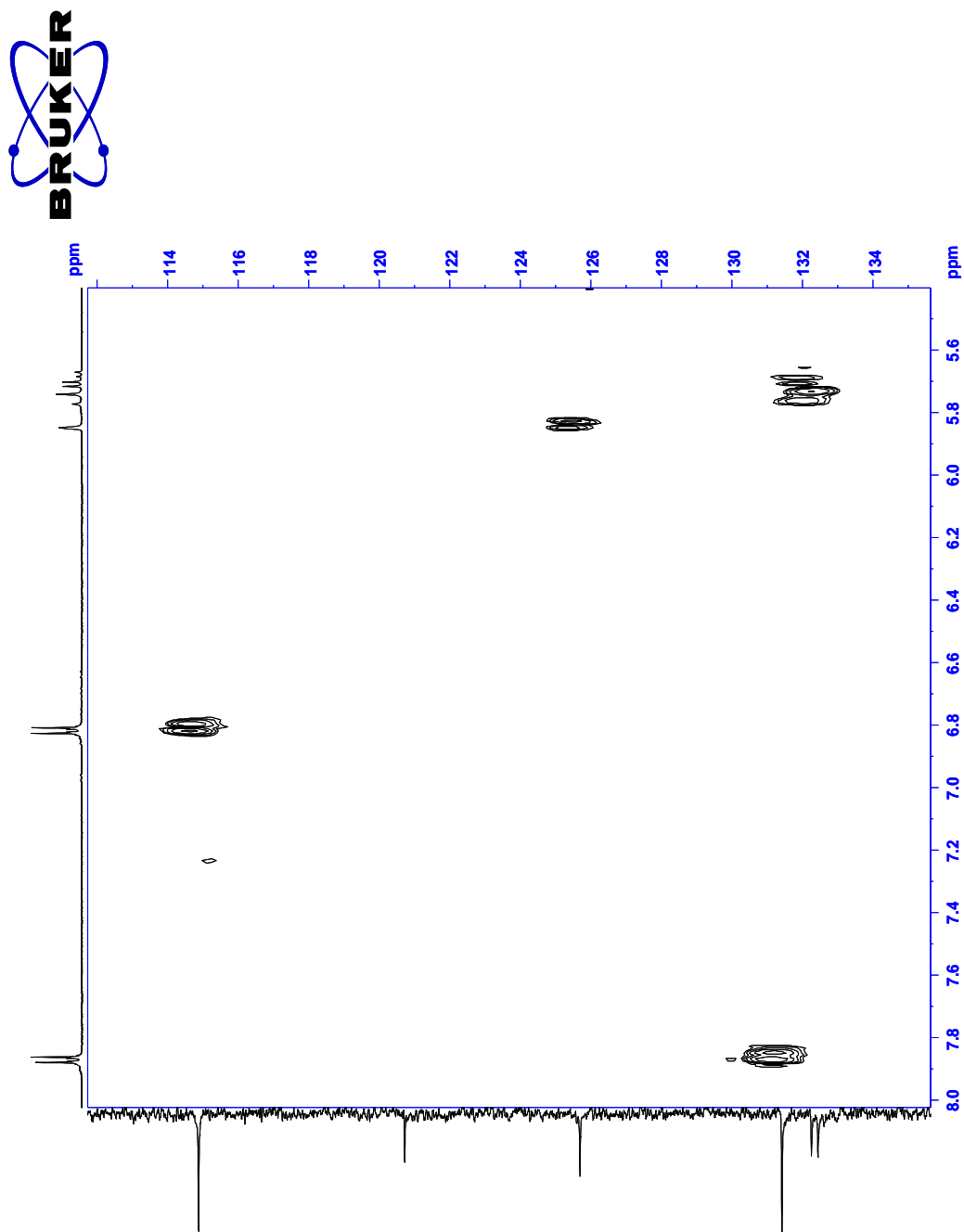
**Espectro 22.** RMN-<sup>13</sup>C del compuesto OpD-9 [(6R,9S)-6'-(4"-hidroxibenzoil)-roseósido]. JEOL de 67,5 MHz.



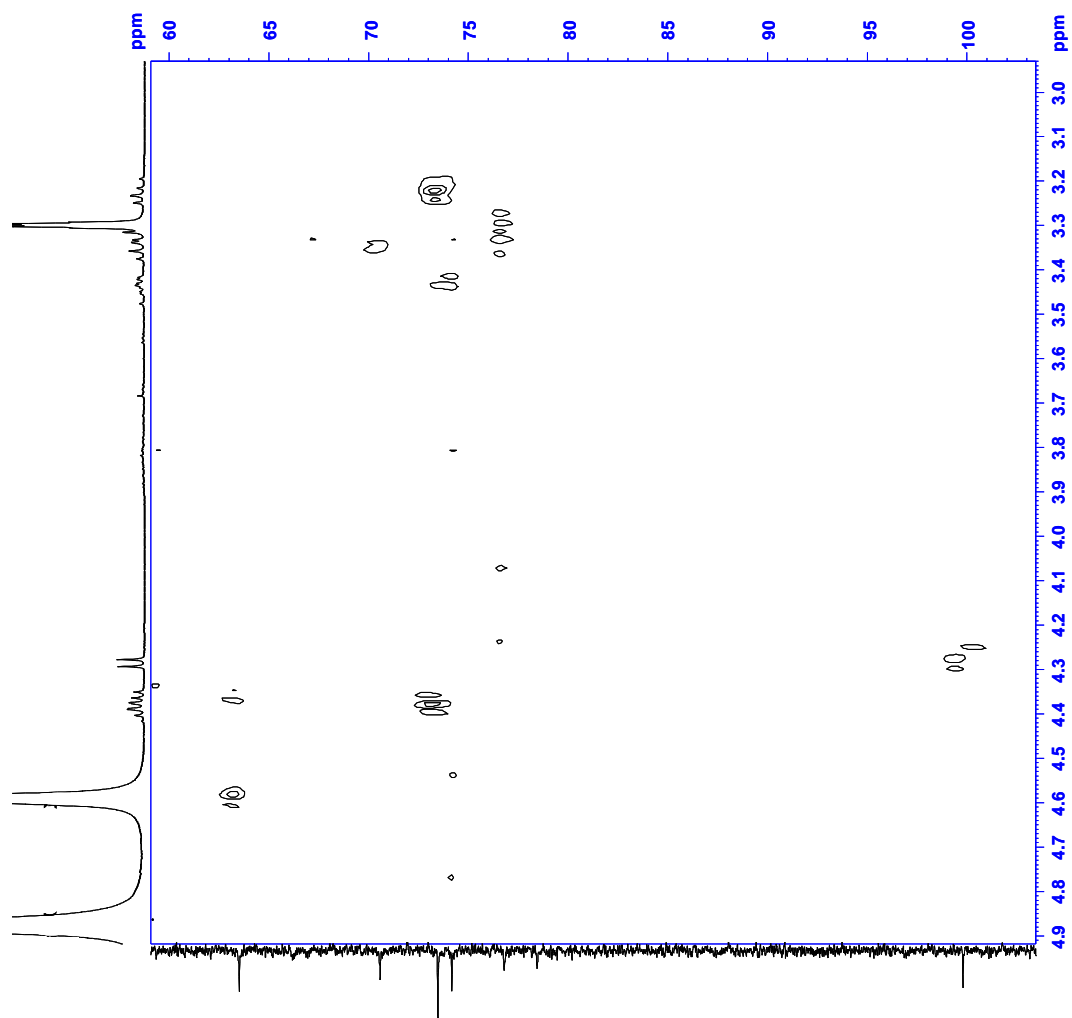
Espectro 23. DEPT-135° del compuesto OpD-9 [(6R,9S)-6'-(4''-hidroxibenzoil)-roseósido].



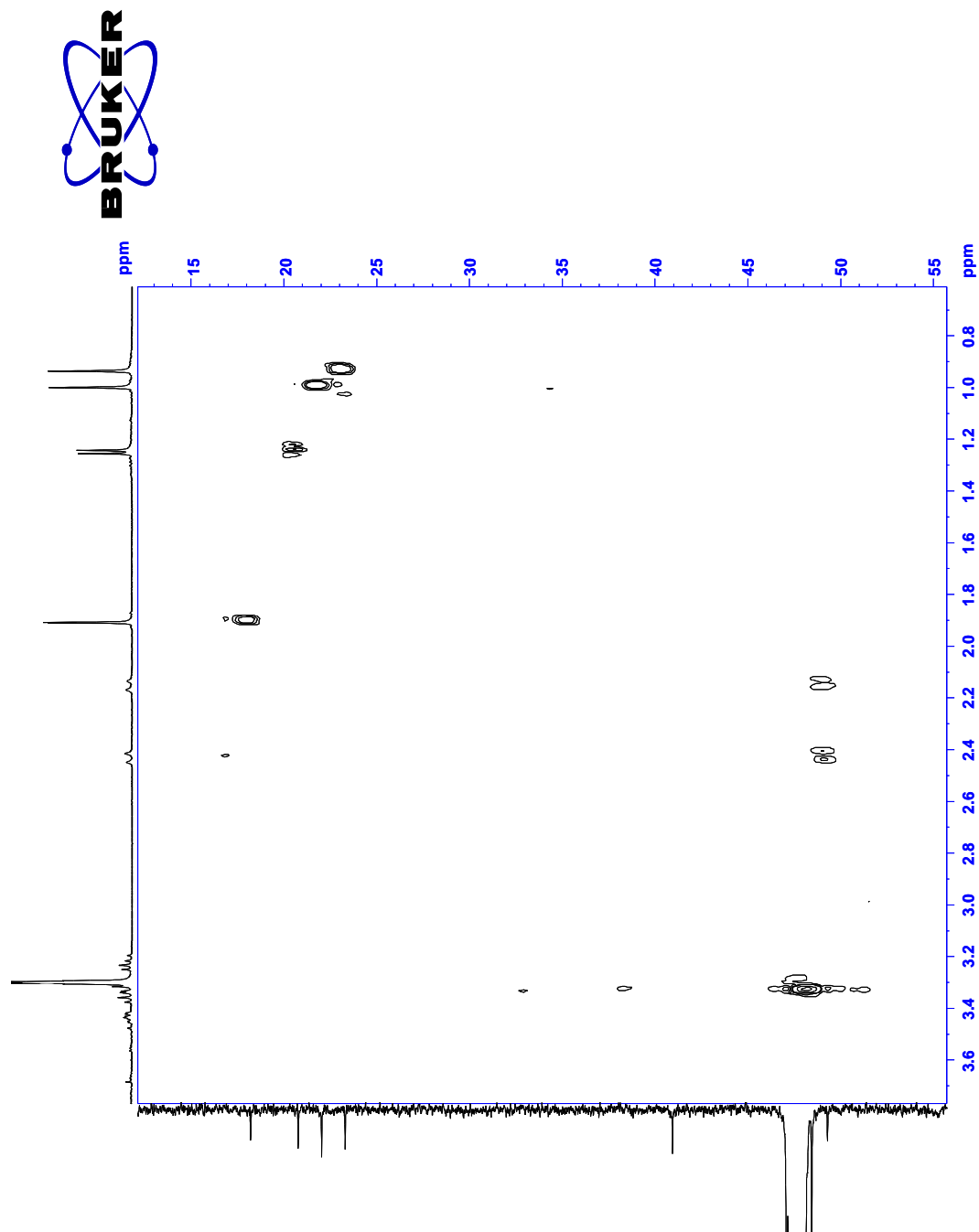
Espectro 24. HMQC del compuesto OpD-9 [(6R,9S)-6'-(4"-hidroxibenzoil)-roseósido].



**Espectro 25.** Ampliación entre 5,6-8,0 ppm en F2 del HMQC del compuesto OpD-9 [(6R,9S)-6'-(4"-hidroxibenzoil)-roseósido].



**Espectro 26.** Ampliación entre 3,0-4,9 ppm en F2 del HMQC del compuesto OpD-9 [(6R,9S)-6'-(4''-hidroxibenzoil)-roseósido].



**Espectro 27.** Ampliación entre 0,8-3,6 ppm en F2 del HMQC del compuesto OpD-9 [(6R,9S)-6'-(4"-hidroxibenzoil)-roseósido].